

RB_2C_2 (R: 希土類金属) の物性

東北大学理学部

笠谷光男 根岸賢司 橋磨尚朝

劉博 稲谷志雄

§1. 序

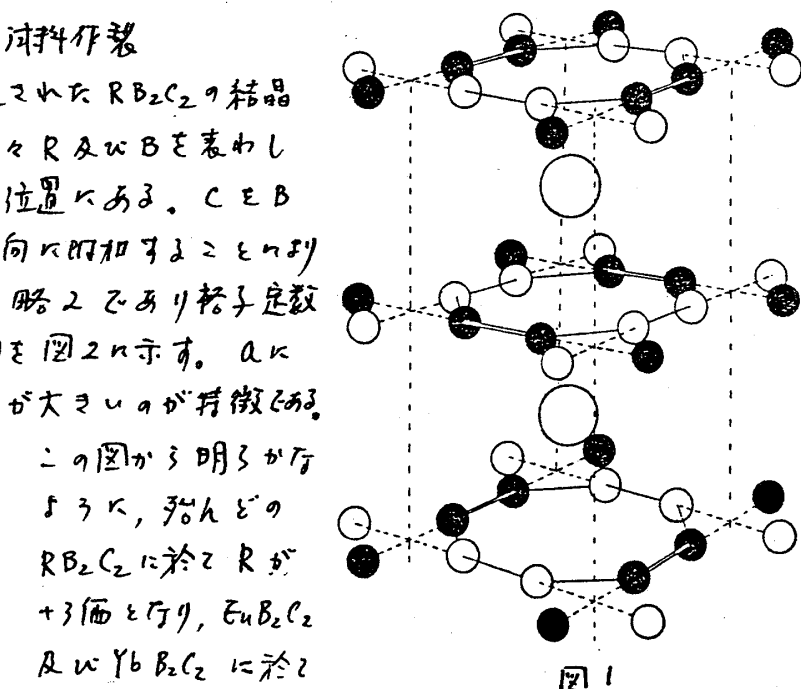
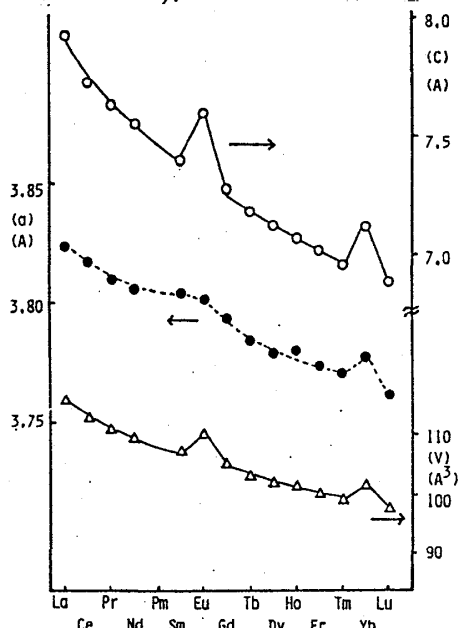
エネルギー一ギャップを伴う価教導物質として注目され、我々がその先駆的役割を果たす SmB_6 に関する第一次回の本研究会(飯坂)で詳細を報告した。その時まで痛風(?)にて、同様な振舞を示す他の例証があり得ても少なく、普遍的な概念の確立には新たな物質の探索とその物理的測定及び比較検討の必要性があるといふことである。

吾々は TbB_{12} がこの目的に適う最も簡単な系として注目した第二次回の本研究会(作並)でペニト計算及び実験結果を速報し、今回の研究会でも伊賀等によて詳細を報告がある。

TbB_{12} と並行して RB_2C_2 (R: 希土類金属) の物理性も RB_6 型化合物との組合せ興味がある所である。 RB_2C_2 型化合物の結晶構造は 1980 年 Bauer 等¹⁻³⁾によって決定され、焼結体による磁性及び伝導の測定結果は広大の温度範囲で測定されている²⁻³⁾。吾々はペニト構造の計算及び一部単結晶による TmB_2C_2 , SmB_2C_2 , TbB_2C_2 の物理性を本研究会で報告する。

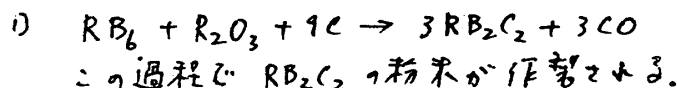
§2. 結晶構造、格子定数、試料作製

図 1 は Bauer 等¹⁻³⁾によって決定された RB_2C_2 の結晶構造を示す。大及び小の白丸は各々 R 及び B を表わし、黒丸は C を示す。R は正方形補助位置にある。C は B を置換し、更に 2 倍の B を C 軸方向に附加する形となり RB_6 の結晶構造となる。 a は約 2 であり格子定数及く体積(V)の R 依存性の詳細を図 2 に示す。 a は比 1/2 C の方がはるかに R 依存性が大きいのが特徴である。



今後希土類金属 + 2 価元素 + 2 価教導新状態を示す
と予想される。 EuB_2C_2 及く TbB_2C_2 の物理的測定の困難さから、
この場合では測定されていない。

試料作製は次の二段階の手順を経て作製した。



2) この粉末をアーフ炉あるいは高周波炉で結晶化する。

§3 バンド構造

LaB_2C_2 のバンド構造と LaB_6^{4+} は同様、APW 法を用いて計算した。出発のポテンシャルとして半径 R の $\text{La}(Xe, 5d^1 6s^2)$, $\text{B}(\text{He}, 2s^2 2p^1)$, $\text{C}(\text{He}, 2s^2 2p^2)$ をとる。バンド計算は $\text{La}(5p^6 5d^1 6s^2)$, $\text{B}(2s^2 2p^1)$, $\text{C}(2s^2 2p^2)$ (単位胞当たり 2 分子を含む) で計 46 バンドに対して行う (*Frozen Core* 近似)。計算は途中であり self-consistent 状態にいたるまで相当の計算を要するが、しかし大抵把なバンド構造に関する知見は得ることが出来た。その近傍のバンド構造を図 3 に示す。これらの計算より次に掲げる情報を得ることが出来た。

- 1) RB_6 と異なり RB_2C_2 においては R が R^{3+} , R^{2+} いづれも陽子も金属となる。
- 2) m^* は C 面内より C 軸方向の方がより小さく。
- 3) バンドを形成する二つの伴う電子の移動は、APW 算法内の電子数の見積り

* Starting potential + 0.5	* Final potential + 0.5
La 57.867	La 56.957
2B 7.046	2B 7.383
2C 7.202	2C 7.820

 より La から B, C へ電子が移動することがわかる。これらの結果より La は +0.91 eV, B 及び C は -0.17, -0.31 eV となる。

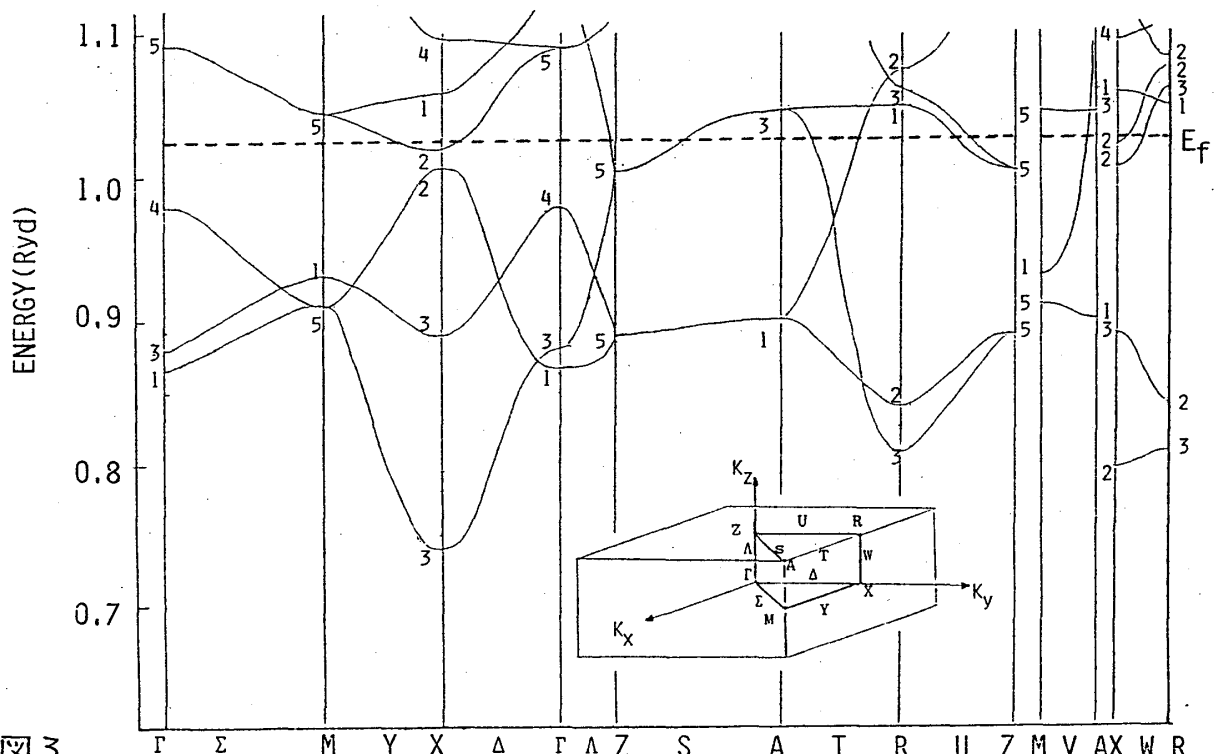


図 3

3.4 実験結果

4-1 SmB_2C_2

SmB_2C_2 中の Sm の価数は格子定数(図2)より+3価と考えられる。これを直接確かめる目的で先方UV吸収の実験を中井俊一氏(宇都宮大・工)に依頼して測定した(図4)。 Sm が典型的な+3価である Sm_2O_3 及び価数混合状態の Sm_3Se_4 ($\text{Sm}^{2+}:\text{Sm}^{3+} = 1:2$)との比較より SmB_2C_2 は Sm イオンが殆んど+3価であることが明瞭である。

Sm^{3+} は $4f^5$ であり $^6H_{1/2}$ の Kramers ion である。結晶場の有無に拘らず磁気的秩序が無い場合、帶磁率は低温でチャーリクス型の発散を示す。図5に帶磁率の温度変化を示す。50K近く broad T_c が一つともなく、20K以下で直線増加する。20K以下、増加の温度依存性があり不純物によるものと考えられる。帶磁率が3D磁気的秩序状態、存在を示唆するが YbB_6 と類似の価数挙動が不可能ため、単結晶($2 \times 2 \times 0.3 \text{ mm}^3$)による電気抵抗(I_{DC})の測定を行って確かめた(図6)。電気抵抗はバンド計算から予想された通り金属的であるが、50Kと25K附近で折れ曲りが観測された。前者の温度は帶磁率、T_cと温度T_cに対応する。更に比熱の測定を行い50Kの異常の起因を確かめた(図7)。比熱は51K附近でT_cよりも後速するエニトロピー、計算より磁気的秩序状態の存在が確定的である。尚電気抵抗の低温側(25K)の異常に対応して比熱の測定において23.4K附近で小さなビーグが観測された。磁気秩序の再配列、その他可能性があるが詳細は今後の研究を待たねばならぬ。

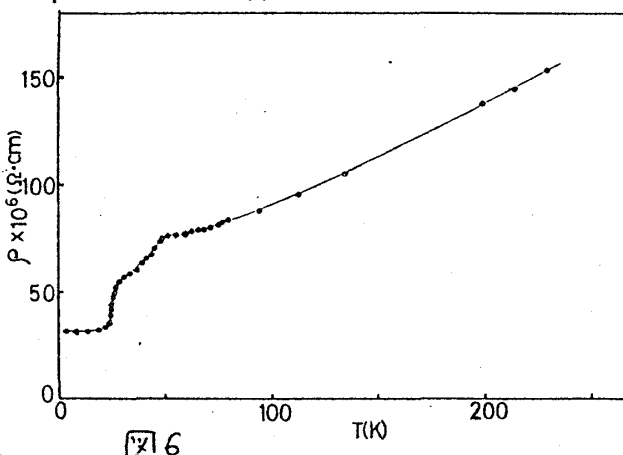


図6

-13-

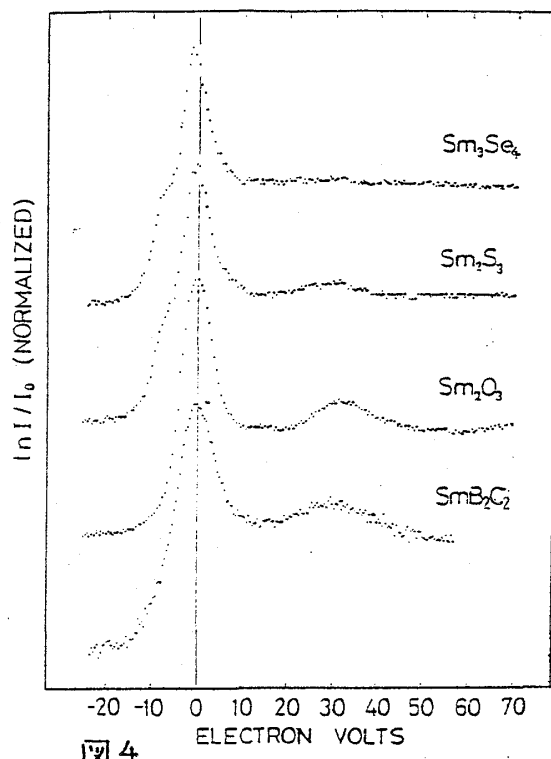


図4

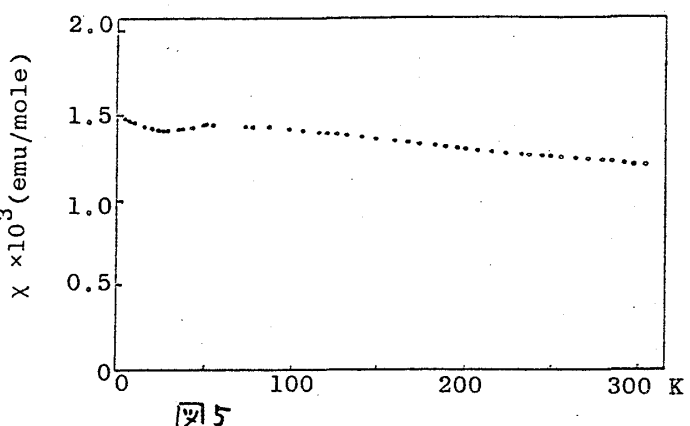


図5

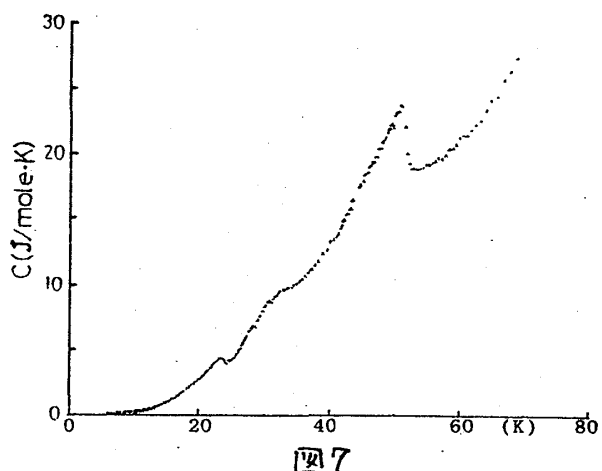


図7

4-2 TmB₂C₂

Tm³⁺ は 4f¹² であり基底状態は ³H₆ ($P_J = \frac{1}{6}$) である。

3. TmB₂C₂ の磁化率、温度変化を図8に示す。塩¹¹ジル-フ¹⁰の測定結果とよく一致してあり高温側ではモリスワイス則によくおり、キューリ定数も自由イオンの $\sqrt{J(J+1)} = 7.6 \mu_B$ に近い値を示す。したがって TmB₂C₂ は 17.8 K 以下のままで反強磁性体であることは明らかであり電気抵抗の測定でもネール率で異常が観測される(図9)。

吾々は TmB₂C₂ の磁気秩序状態に於ける磁気異方性についてもあり、T_N 以下(4.2 K) での磁化曲線を 90 kOe まで測定した。多結晶の測定結果を図10に示す。この磁化曲線は、磁気異方性が直接相互作用比例で非常に大きい ($H_A \gg H_Z$) 情況の粉末磁化曲線とよく一致する。飽和磁化の値は 90 kOe で 2.8

μ_B であり異方性がない場合、飽和磁化は $J = 7\mu_B$ となり(極端な例で $J < \text{大旨 } 8\pi J/3$)

であることは一軸異方性が非常に大きいことを示唆している。次章で磁気異方性の起因について述べる。TmB₂C₂ が 4.2 K ~ 30 K の比熱測定の結果を図11に示す。ネール率で入型の大きさは熱のとれを除いて (27.0 eV 附近) 17.8 K がネール率であることを表す。低温側の比熱のビーカー起因は現在不明である。

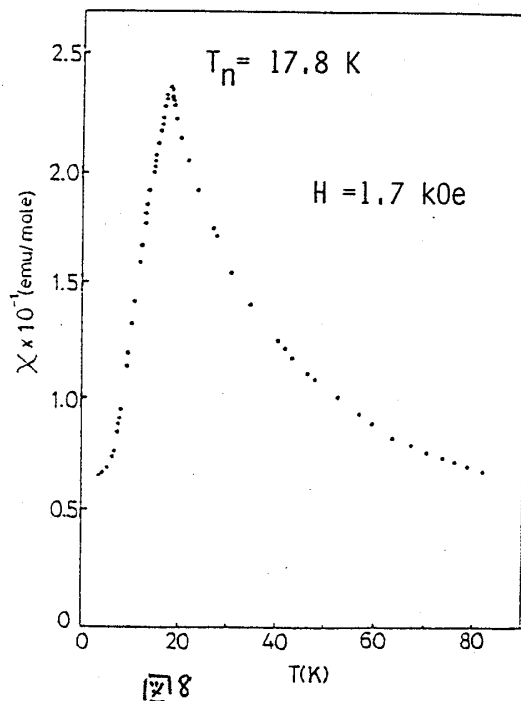


図8

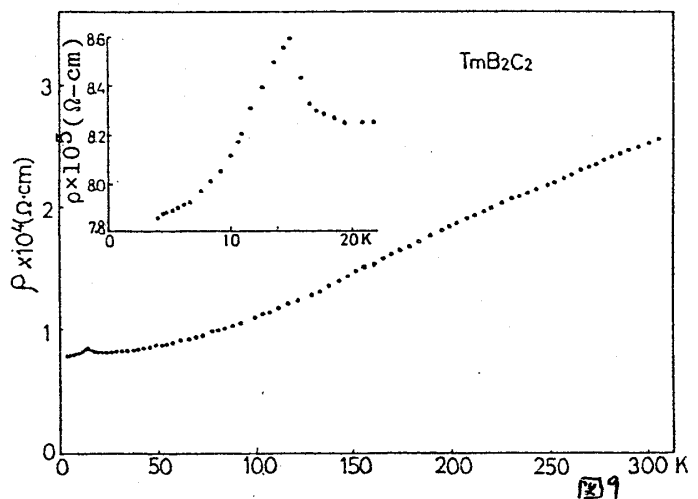


図9

4-3 YbB₂C₂

予備実験により
それが Yb³⁺(S.)
から期待される
反強磁性ではない
よりなり常磁性
Yb³⁺の温度変化
を示す。しかし現
在の可能性が
あり現在 LIII
吸収の実験を
準備中である。

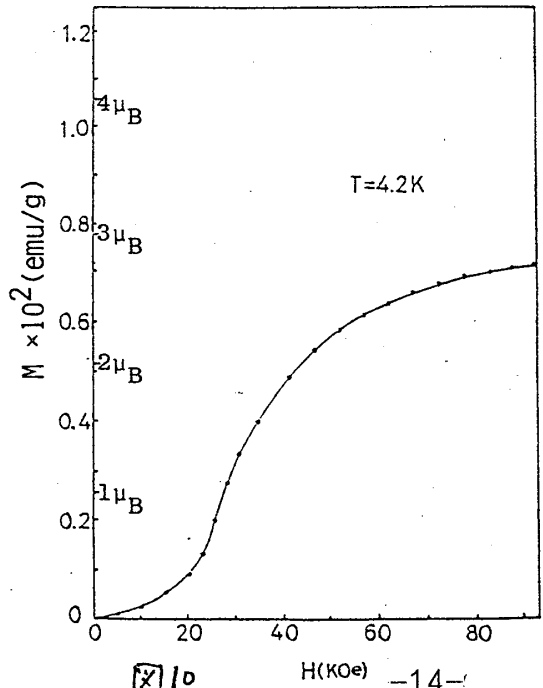


図10

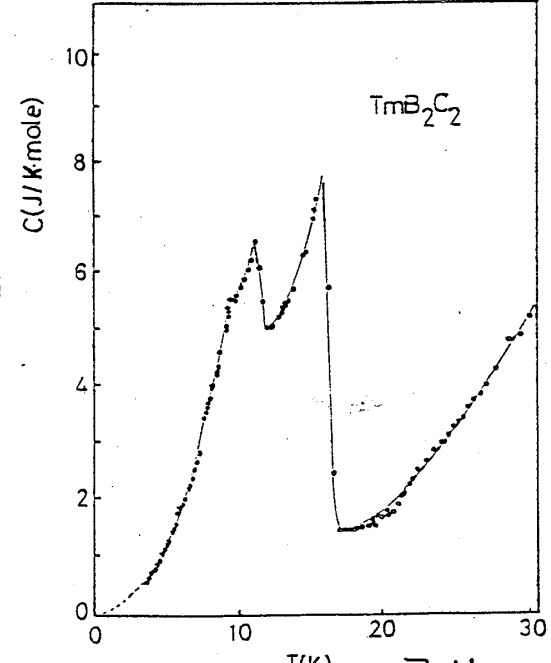


図11

§5 考察

TmB_2C_2 の場合で述べた如く RB_2C_2 に於ける一般に強い磁気異方性が期待される。これは希土類金属の場合と同様、結晶場によるものと考えられる。結晶場の起因として i) 周りの実電荷によるフーロン相互作用 ii) Intratomic $d-f$ フーロン iii) $p-f$ mixing 等が考えられるが、ここでは簡単な無実電荷モデルによると

結晶場を計算した結果、 R, B, C に対する実電荷の値はバンド計算から得られた値を用いることとする。

TmB_2C_2 に対する計算結果を図12 に示す。 Tm は正方対称の位置であり、 $J=5/2$ の 6 重縮退は 3, 2 重縮退に分裂する。図には量子化の方向と C 軸と平行の場合の eigen vector の値も記されている。6 次の結晶場の寄子ではなく、4 次の寄子も極くわずかである。従って 2 次の結晶場によって RB_2C_2 の eigen vector がどのように決ることになる。

固有値の大きさから明確なよう非常に大きな一軸性、磁気異方性が実電荷モデルでも期待される。参考までに図12から計算された TmB_2C_2 の帶磁率の異方性を図13 に示す。

結晶場には i), ii) の寄子も附加され、ii) の寄子は i) を打ち消す方向には大きくなる。従って実際のエネルギーレベルは図12 の通りの場合もありうる。 TmB_2C_2 に於て高温の帶磁率が自由電子で記述され、order parameter は一方向のみ $J=7/2$ のモーメントが発生していることを考慮するとエネルギーレベルの逆転の方が現実的である。 PrB_2C_2 の一重項が基底状態になつてみるとこれが窓付けける(等価演算子法に於ける係数 α は Tm , Tm で正、 Pr は負であることに注意)。図13 にはエネルギーレベル逆転の場合の帶磁率の異方性が破線で記入されている。単結晶による帶磁率の異方性の測定が待たれる。

さて次に個々の物質について簡単に考察を加えてみる。 TmB_2C_2 の磁性は前述の如く基底状態が $| \pm 6 \rangle$ の二重項の描像で大抵説明されると言える。二重項が基底状態に在つては実験的窓付にて比熱測定が得られるエントロピーがある。 T_N 以上の比熱を格子比熱とて差引くと T_N 以下、比熱より $S = R \ln 1.9$ が求まる(低温側の比熱を除くと $R \ln 1.5$)。しかしながら $R \ln 1.3$ に比べてはるかに小さい($\sim \frac{1}{4}$)。 RB_2C_2 の磁性に関する参考系として TmB_2C_2 が重要な役割を果すことになる。

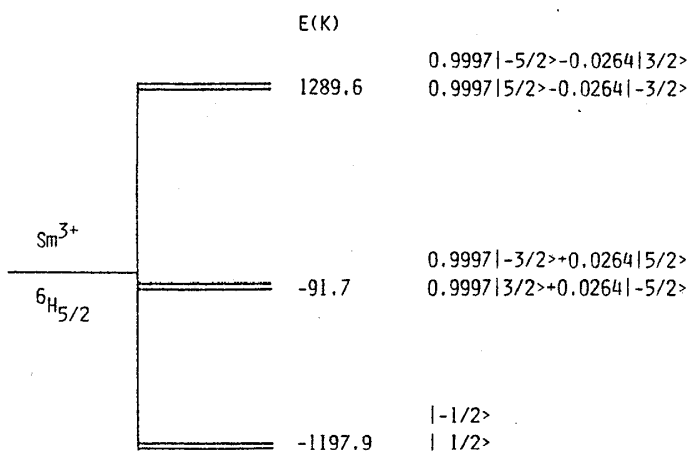


図 12

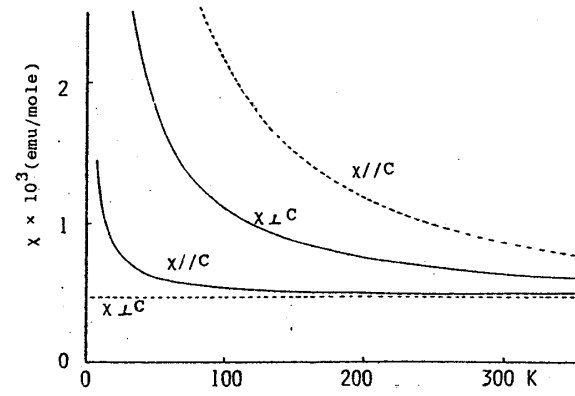


図 13

$S_{m}B_2C_2$ は 50 K 附近で熱をもつ、即熱測定から求めた T_c 以下のエントロピー $-TS = R \ln 1.5$ と求まる(図 14)。格子比熱の差は若干の誤差を生じるが二重項が基底状態であることを間違いない。 $S_{m}B_2C_2$ が他の PB_2C_2 と並んで異なる点はネルギーに於ける帶磁率のピークが非常に小さく見える²⁾。高温に於けるも結晶場の両極端を想定して求めた帶磁率(多結晶でみると $\chi = (2\chi_{\perp}C + \chi_{\parallel}C)/3$)や自由電子による帶磁率よりも大きな値を示し温度変化も緩かである。これらの現象は交換相互作用を考慮して説明がなされるか否か現在検討中である。 PbB_2C_2 の研究がスタートしたばかりである。価値ある可能性のある物質であり、今後精力的実験を進める予定である。

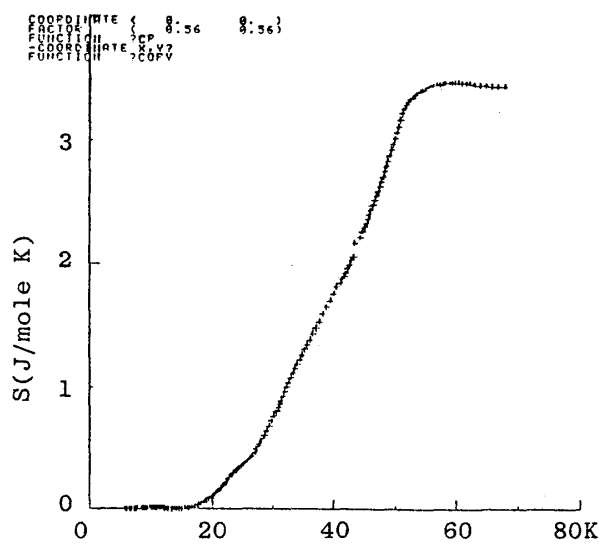


図 14

References:

- 1) J. Bauer and O. Bars, Acta Cryst. B36(1980)1540.
- 2) T. Sakai, G. Adachi and J. Shiokawa, Solid State Commun. 40(1981)445.
- 3) T. Sakai, G. Adachi and J. Shiokawa, J. Less-Common Met. 84(1982)107.
- 4) A. Hasegawa and A. Yanase, J. Phys. F 7(1977)1245.